

# بررسی رفتار دینامیکی اتوبالانسر ساچمه‌ای دو ردیفه در حضور اثر ژيروسکوپی و بهینه‌سازی پارامترهای آن با استفاده از الگوریتم ژنتیک

موسی رضائی\*  
استاد، دانشکده مهندسی مکانیک، دانشگاه تبریز، تبریز، ایران  
رضا فتحی  
دانشجوی دکتری، دانشکده مهندسی مکانیک، دانشگاه تبریز، تبریز، ایران

## چکیده

بالانسر دینامیکی ساچمه‌ای قادر است نابالانسی‌های متغیر را به صورت خودکار و بدون نیاز به سیستم کنترل، بالانس نماید. با توجه به اینکه این نوع بالانسر عمدتاً در سیستم‌هایی به کار می‌رود که ممکن است در طول یک روز چند بار روشن و خاموش شود بنابراین کاهش زمان مورد نیاز برای بالانس سیستم در هر بار راه‌اندازی آن اهمیت پیدا می‌کند. همچنین در عمل به دلایل مختلفی از جمله عدم نصب روتور در وسط شفت، اثر ژيروسکوپی ایجاد می‌شود. در اتوبالانس‌های تک ردیفه برخورد بین ساچمه‌ها سبب خرابی ساچمه‌ها شده و فرایند بالانس را مختل می‌نماید که این نارسائی در بالانسر دو ردیفه برطرف می‌گردد. با مرور ادبیات فن مشخص می‌شود تاکنون تحقیقی در زمینه بررسی رفتار دینامیکی و تعیین محدوده بهینه پارامترهای روتور مجهز به اتوبالانسر دو ردیفه در حضور اثر ژيروسکوپی انجام نشده است. به همین منظور در این مقاله برای بررسی رفتار دینامیکی اتوبالانسر ساچمه‌ای دو ردیفه در حضور اثر ژيروسکوپی ابتدا معادلات حرکت سیستم در حضور اثر ژيروسکوپی استخراج و تاثیر پارامترهای ضریب میرایی و جرم ساچمه‌های اتوبالانسر در حضور اثر ژيروسکوپی بر پایداری سیستم مورد مطالعه قرار گرفته است. در نهایت، با استفاده از الگوریتم ژنتیک، مقدار بهینه این پارامترها بر اساس کمینه‌سازی زمان بالانس و صفر شدن زوایای اویلر تعیین شده است.

**کلمات کلیدی:** بالانسر اتوماتیک ساچمه‌ای دو ردیفه، پایداری، اثر ژيروسکوپی، الگوریتم ژنتیک.

## Dynamic Analysis of an Automatic Double-race Ball-balancer under the Gyroscopic Effect and Optimization of its Parameters Using the Genetic Algorithm

M. Rezaee  
R. Fathi

Department of Mechanical Engineering, University of Tabriz, Tabriz, Iran  
Department of Mechanical Engineering, University of Tabriz, Tabriz, Iran

### Abstract

An automatic ball balancer can automatically balance the rotors with varying unbalance and doesn't need a control system to balance the rotor. These devices are used in rotating machineries that may be switched on/off several times a day, therefore reducing the balancing time becomes a necessary task. Also in practice, due to the offset of the rotor from the shaft mid-span, the gyroscopic effect is created. In one race auto-balancer, impact between balls may cause fracture of the balls and produce malfunction of the auto-balancer. These deficiencies solved by using double-race auto-balancer. Considering pervious researches reveal that the dynamic behavior of automatic double-race ball balancer under the gyroscopic effect as well as optimization of its parameters has not been investigated. In regard these, here, the dynamic behavior of automatic double-race ball balancer under the gyroscopic effect is investigated. The effect of damping ratio and the mass of balls of the automatic dynamic ball balancer on the stability and balancing of the system under the gyroscopic effect have been studied. Finally, using the genetic algorithm, the optimum values of these parameters to minimize the balancing time and converging the Euler angles to zero are obtained.

**Keywords:** Automatic double-Race Ball-Balancer, Stability, Gyroscopic Effect, The Genetic Algorithm.

### ۱-مقدمه

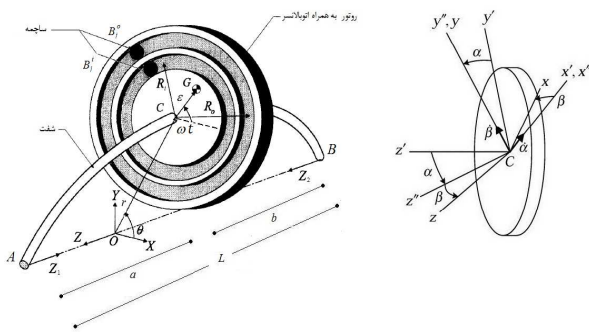
ساچمه‌ای کاربردهای متفاوتی از جمله در CD ROM، DVD درایوها، ماشین‌های ابزار و ... دارد [۲-۳].

اولین مطالعات در زمینه اتوبالانسر ساچمه‌ای توسط تیرل [۴]، الکساندر [۵] و کید [۶] انجام شده است. در سال ۱۹۹۹ چپول و همکارش [۷] به بررسی رفتار دینامیکی و پایداری بالانسر اتوماتیک ساچمه‌ای دو ردیفه پرداختند. آنها مدل ساده روتور جفکات مجهز به اتوبالانسر را در نظر گرفتند و اثرات ژيروسکوپی را در محاسبات خود وارد نکردند. دلیل آنها برای دو ردیفه در نظر گرفتن اتوبالانسر جلوگیری از برخورد میان ساچمه‌ها بود تا ساچمه‌ها بعد از مدتی دچار شکستگی نشوند. در سال ۲۰۰۳ چانگ و همکارانش [۸] به بررسی رفتار دینامیکی مدل روتور استودلا-گرین مجهز به اتوبالانسر تک ردیفه پرداختند. آنها معادلات حرکت با در نظر گرفتن یک شفت انعطاف‌پذیر

نابالانسی علت عمده ارتعاش در سیستم‌های دوار است. نابالانسی وقتی اتفاق می‌افتد که محورهای اینرسی اصلی روتور منطبق بر محور دوران آن نباشد. در روش معمول عملیات بالانس سیستم پس از متوقف کردن دستگاه و به صورت وزنه‌گذاری یا برداشتن جرم از صفحاتی خاص که جهت انجام این کار بر روی روتور تعبیه شده‌اند انجام می‌پذیرد. ولی اگر نابالانسی بسته به شرایط کاری تغییر کند دیگر با یک بار بالانس کردن مشکل حل نمی‌شود در چنین شرایطی، استفاده از اتوبالانسر ساچمه‌ای دینامیکی که زیرمجموعه روشهای بالانس غیرفعال می‌باشد [۱]، توصیه می‌شود که قادر است بدون نیاز به متوقف کردن دستگاه، عملیات بالانس را انجام دهد. اتوبالانسر

## ۲- استخراج معادلات غیرخطی حرکت اتوبالانسرها ساجمه‌ای دوردیفه در حضور اثر ژيروسکوپی

در شکل ۱ روتور نابالانسی به همراه بالانس دینامیکی ساجمه‌ای نشان داده شده است. همانطور که مشاهده می‌شود بالانس دینامیکی ساجمه‌ای از یک دیسک دوار با دو شیار محیطی تشکیل شده است که در آن ساجمه‌هایی قرار دارند و فضای خالی بین ساجمه‌ها و شیار با مایع لزجی پر شده است. تحت شرایطی این ساجمه‌ها نهایتاً در وضعیتی قرار می‌گیرند که نابالانسی سیستم را جبران کرده و نهایتاً آن را به حالت بالانس در می‌آورند [۱۵]. عدم تقارن در محل قرارگیری روتور ( $a \neq b$ ) سبب ایجاد اثر ژيروسکوپی در سیستم می‌شود. برای به‌دست آوردن معادلات حرکت، دستگاه مختصات  $XYZ$  به‌عنوان دستگاه مرجع اینرسی انتخاب شده است و برای مشخص کردن مرکز هندسی  $C$  از مختصات قطبی  $r$  و  $\theta$  استفاده شده است. برای تعیین موقعیت مرکز جرم  $G$  نسبت به  $C$ ، دو پارامتر  $\varepsilon$  (خروج از مرکز) و  $\omega$  بکار گرفته شده است. برای نشان دادن جهت دستگاه مختصات متحرک متصل به روتور،  $x'yz'$ ، از زوایای اوپلر و رابطه بین دستگاه مختصات متحرک و دستگاه مختصات مرجع  $XYZ$  استفاده شده است. چرخش اول دستگاه مختصات متحرک به اندازه زاویه  $\alpha$  در جهت پادساعتگرد حول محور  $Z$  و در صفحه  $XY$  انجام می‌گیرد و باعث تبدیل  $x'yz' \rightarrow x''y''z''$  می‌شود. چرخش دوم به اندازه  $\alpha$  در جهت پادساعتگرد حول محور  $x''$  و در صفحه  $x''y''z''$  انجام می‌گیرد و باعث تبدیل  $x''y''z'' \rightarrow x'''y'''z'''$  می‌شود. چرخش سوم به اندازه زاویه  $\beta$  در جهت پادساعتگرد حول محور  $y'''$  باعث تبدیل  $x'''y'''z''' \rightarrow xyz$  می‌شود.



شکل ۱- روتور همراه بالانسرها ساجمه‌ای

این تبدیل مختصات را می‌توان به فرم ماتریسی زیر بیان کرد [۱۶]:

$$\vec{x}' = [R_{\alpha}] \vec{X}, \vec{x}'' = [R_{\alpha}] \vec{x}', \vec{x}''' = [R_{\beta}] \vec{x}'' \quad (1)$$

که در آن  $[R_{\alpha}]$ ،  $[R_{\beta}]$  و  $[R_{\gamma}]$  ماتریس‌های دوران می‌باشند و عبارتند از:

که در انتهای آن روتور قرار دارد استخراج کردند و محدوده‌ی پایداری را بر حسب پارامترهای مختلف سیستم بررسی کردند. در سال ۲۰۰۹ چانگ و همکارانش [۹] به بررسی تحلیلی پایداری اتوبالانسرها پرداختند. آنها محدوده‌ی پایداری در همسایگی وضعیت تعادل را به وسیله معادلات خطی‌سازی شده حول نقاط تعادل و با استفاده از مسأله مقدار ویژه بررسی کردند. در سال ۲۰۰۹ اچایی و همکارش [۱۰] به بررسی تحلیلی و عددی یک محور انعطاف پذیر دوار نابالانس بر روی دو تکیه-گاه الاستیک خطی و مجهز به چند اتوبالانسرها ساجمه‌ای پرداختند. آنها با فرض توزیع نابالانسی به صورت جرمهای نقطه‌ای در طول محور دوار بدون جرم، معادلات حرکت را استخراج کردند و نشان دادند که با انتخاب مناسب پارامترهای بالانسرها می‌توان شفت را بالانس نمود و هنگامی که بالانسرها در نزدیکی نابالانسی‌ها قرار داده شوند نتایج بهتری حاصل می‌شود. چان و همکارانش [۱۱] تاثیر غیرخطی بودن تعلیق در عملکرد بالانسرها ساجمه‌ای را مورد مطالعه قرار دادند. نتایج نشان داد غیرخطی در نظر گرفتن تعلیق باعث تغییر در موقعیت ساجمه‌ها در هنگام پایداری و همچنین محدوده پایداری پیش‌بینی شده نسبت به حالت خطی می‌شود. در سال ۲۰۱۱ چانگ و همکارش [۱۲] به جای محدود کردن حرکت ساجمه‌ها در شیار اتوبالانسرها، آنها را به فنرهایی وصل کردند تا ساجمه‌ها قادر به حرکت شعاعی باشند. این کار سبب افزایش محدوده پایداری سیستم شد. در سال ۲۰۱۳ سانگ و همکارانش [۱۳] به بررسی تاثیر تحریک خارجی بر موقعیت زوایای ساجمه‌ها پرداختند. یکی از جدیدترین تحقیقات در زمینه اتوبالانسرها ساجمه‌ای در سال ۲۰۱۴ توسط رضائی و همکارش [۱۴] انجام شده است که در آن تاثیر پارامترهای ضریب میرایی و جرم ساجمه‌های اتوبالانسرها بر پایداری و بالانس روتور مجهز به اتوبالانسرها تک ردیفه بدون اثر ژيروسکوپی را بررسی کردند و مقدار بهینه پارامترها برای سیستم بر اساس حداقل زمان رسیدن به حالت بالانس را تعیین کردند.

از مرور تحقیقات پیشین مشخص می‌شود که تاکنون تحقیقی در زمینه بررسی رفتار دینامیکی اتوبالانسرها دو ردیفه و بهینه‌سازی پارامترهای آن با لحاظ کردن اثرات ژيروسکوپی برای کمینه‌سازی زمان بالانس و صفر کردن زوایای اوپلر صورت نگرفته است. از مزایای عمده اتوبالانسرها دو ردیفه نسبت به نوع تک ردیفه می‌توان به عدم خرابی ساجمه‌ها به دلیل جلوگیری از برخورد آنها و کارایی مطلوب بالانسرها بدلیل عدم برخورد میان ساجمه‌ها اشاره کرد [۷]. همچنین با توجه به اینکه در بسیاری از کاربردهای سیستم‌های دوار، محدودیت‌هایی برای نصب روتور و بالانسرها در وسط شفت وجود دارد بنابراین در اثر عدم تقارن و وجود شیب در بخشی از شفت که روتور و بالانسرها در آن نصب شده است در اثر دوران سیستم، اثر ژيروسکوپی پدید می‌آید. در مقاله حاضر، روتور مجهز به اتوبالانسرها ساجمه‌ای دو ردیفه در حضور اثر ژيروسکوپی بررسی شده است. با در نظر گرفتن شتاب زوایای در مرحله راهاندازی روتور که به واقع‌بینانه‌تر شدن مدل دینامیکی منجر می‌شود معادلات غیرخطی حاکم بر حرکت سیستم استخراج و تاثیر پارامترهای ضریب میرایی و جرم ساجمه‌های اتوبالانسرها بر پایداری و بالانسرها سیستم مورد بررسی قرار گرفته است. سپس با استفاده از روش الگوریتم ژنتیک، مقادیر بهینه پارامترهای مذکور بر اساس کمینه کردن زمان بالانس و صفر شدن سریع زوایای اوپلر تعیین شده است.

$$J = \begin{bmatrix} j & 0 & 0 \\ 0 & j & 0 \\ 0 & 0 & j_z \end{bmatrix} \quad (7)$$

$$\vec{\Omega} = (-\omega \cos \alpha \sin \beta + \dot{\alpha} \cos \beta) \vec{i} \quad (8)$$

که در آن  $J$  نشان دهنده ممان اینرسی جرمی حول محورهای  $x$  و  $y$  و  $J_z$  ممان اینرسی جرمی حول محور  $z$  است.

برای به دست آوردن انرژی پتانسیل سیستم با صرف نظر کردن از اثر گرانش و انحراف پیچشی و طولی شفت، انرژی پتانسیل ناشی از خمش شفت محاسبه می‌شود. برای محاسبه تابع خیز شفت در دو ناحیه طرفین دیسک، در ناحیه سمت چپ دیسک از مختصه  $Z_1$  که مبدا آن در نقطه‌ی  $A$  قرار دارد استفاده شده و برای محاسبه خیز شفت در ناحیه سمت راست دیسک از مختصه  $Z_2$  که مبدا آن در نقطه‌ی  $B$  قرار دارد استفاده شده است. شفت با تکیه‌گاههای ساده در نظر گرفته شده که در  $Z_1=0$  و  $Z_2=0$  دارای خیز صفر است. خیز شفت در جهات  $X$  و  $Y$  در  $Z_1=a$  (  $Z_2=b$  ) با  $D_X$  و  $D_Y$  نشان داده شده است:

$$D_X = r \cos \theta, D_Y = r \sin \theta \quad (9)$$

زوایای دوران دیسک حول محورهای  $X$  و  $Y$  به ترتیب  $\Phi_Y$  و  $\Phi_X$  است:

$$\Phi_X = \alpha \cos \omega t - \beta \cos \alpha \sin \omega t \quad (10)$$

$\Phi_Y = \alpha \sin \omega t + \beta \cos \alpha \cos \omega t$   
انرژی پتانسیل شفت ناشی از خمش در دو صفحه  $Z-X$  و  $Z-Y$  استخراج شده است. برای این کار ابتدا صفحه  $Z-X$  را در نظر گرفته می‌شود. در این صفحه معادله خیز شفت به صورت رابطه (۱۱) بیان می‌شود:

$$\delta_X = AZ^3 + BZ^2 + CZ + D \quad (11)$$

در رابطه (۱۱)،  $A, B, C$  و  $D$  ضرایب ثابتی می‌باشند که با اعمال شرایط مرزی به دست می‌آیند. برای  $0 \leq Z_1 \leq a$  با توجه به این نکته که در  $Z_1=0$  خیز و گشتاور برابر صفر است، بنابراین:

$$\delta_{X1} = AZ_1^3 + CZ_1 \quad (12)$$

همچنین، در  $Z_1=a$  خیز شفت برابر  $D_X$  و شیب آن  $\Phi_Y$  می‌باشد بنابراین:

$$\delta_{X1} = \frac{3D_X - a\Phi_Y}{2a} Z_1 - \frac{D_X - a\Phi_Y}{2a^3} Z_1^3 \quad (13)$$

این رابطه نشان دهنده رابطه خیز شفت در صفحه  $Z-X$  برای محدوده‌ی  $0 \leq Z_1 \leq a$  می‌باشد. مشابه تحلیل انجام شده، رابطه خیز شفت در صفحه  $Z-X$  برای  $0 \leq Z_2 \leq b$  عبارت است از:

$$\delta_{X2} = \frac{3D_X - b\Phi_Y}{2b} Z_2 - \frac{D_X - b\Phi_Y}{2b^3} Z_2^3 \quad (14)$$

با توجه به اینکه خیز شفت در  $Z_1=a$  و  $Z_2=b$  در صفحه  $Z-Y$  برابر  $D_Y$  و شیب آن  $\Phi_X$  می‌باشد می‌توان نوشت:

$$\delta_{Y1} = \frac{3D_Y + a\Phi_X}{2a} Z_1 - \frac{D_Y + a\Phi_X}{2a^3} Z_1^3 \quad (15)$$

$$[R_\alpha] = \begin{bmatrix} \cos \alpha & \sin \alpha & 0 \\ -\sin \alpha & \cos \alpha & 0 \\ 0 & 0 & 1 \end{bmatrix}$$

$$[R_\alpha] = \begin{bmatrix} 1 & 0 & 0 \\ 0 & \cos \alpha & \sin \alpha \\ 0 & -\sin \alpha & \cos \alpha \end{bmatrix} \quad (2)$$

$$[R_\beta] = \begin{bmatrix} \cos \beta & 0 & -\sin \beta \\ 0 & 1 & 0 \\ \sin \beta & 0 & \cos \beta \end{bmatrix}$$

بردارهای  $\vec{x}, \vec{x}', \vec{x}''$  و  $\vec{X}$  بر حسب مولفه‌هایشان به صورت زیر تعریف می‌شوند:

$$\vec{X} = X\hat{I} + Y\hat{J} + Z\hat{K}, \quad \vec{x}' = x\hat{i}' + y\hat{j}' + z\hat{k}' \quad (3)$$

$$\vec{x}'' = x''\hat{i}'' + y''\hat{j}'' + z''\hat{k}'', \quad \vec{x} = x\hat{i} + y\hat{j} + z\hat{k}$$

که در آن  $\hat{I}, \hat{J}, \hat{K}$  بردارهای یکه در راستای محورهای  $X, Y, Z$  و  $\hat{i}', \hat{j}', \hat{k}'$  بردارهای یکه در راستای محورهای  $x', y', z'$  و  $\hat{i}'', \hat{j}'', \hat{k}''$  بردارهای یکه در راستای محورهای  $x'', y'', z''$  و  $\hat{i}, \hat{j}, \hat{k}$  بردارهای یکه در راستای محورهای  $x, y, z$  می‌باشند.

معادلات غیرخطی حرکت برای اتوبالانسر ساچمه‌ای با استفاده از معادلات لاگرانژ که در رابطه (۴) نشان داده شده به دست می‌آیند.

$$\frac{d}{dt} \left( \frac{\partial T}{\partial \dot{q}_k} \right) - \frac{\partial T}{\partial q_k} + \frac{\partial V}{\partial q_k} + \frac{\partial F}{\partial \dot{q}_k} = 0 \quad k = 1, 2, \dots, n+s+4 \quad (4)$$

که در آن  $T$  انرژی جنبشی،  $V$  انرژی پتانسیل،  $F$  تابع اتلاف ریلی و  $q_k$  ( $k=1, 2, \dots, n+s+4$ ) مختصات تعمیم یافته می‌باشند. برای سیستم داده شده مختصات تعمیم یافته عبارتند از  $(r, \theta, \alpha, \beta, \phi_1^i, \dots, \phi_n^i, \phi_1^o, \dots, \phi_s^o)$  که در آن زوایای  $\phi_j^i$  ( $j=1, \dots, n$ ) و  $\phi_j^o$  ( $j=1, \dots, s$ ) به ترتیب نشان دهنده‌ی موقعیت زاویه‌ای ساچمه در شیار داخلی و خارجی نسبت به خط  $CG$  است.  $n$  تعداد ساچمه‌ها در شیار داخلی و  $s$  تعداد ساچمه‌ها در شیار خارجی می‌باشد. برای بیان انرژی جنبشی روتور به همراه بالانسر، بردار موقعیت مرکز جرم  $\vec{T}_G$  و بردار موقعیت ساچمه‌ها  $\vec{r}_{B_j^o}$  و  $\vec{r}_{B_j^i}$  در دستگاه مختصات  $XYZ$  با استفاده از ماتریس‌های دوران و روابط (۵) بیان می‌شوند:

$$\vec{r}_{OC|XYZ} = r(\cos \theta \vec{I} + \sin \theta \vec{J}), \quad \vec{r}_{CG|xyz} = \varepsilon \vec{i} \quad (5)$$

$$\vec{r}_{CB_j^i|xyz} = R_i \cos \phi_j^i \vec{i} + R_i \sin \phi_j^i \vec{j}$$

$$\vec{r}_{CB_j^o|xyz} = R_o \cos \phi_j^o \vec{i} + R_o \sin \phi_j^o \vec{j}$$

می‌توان نشان داد که انرژی جنبشی برای بالانسر به صورت زیر به دست می‌آید:

$$T = \frac{1}{2} \vec{\Omega}^T J \vec{\Omega} + \frac{1}{2} M \frac{d\vec{r}_G}{dt} \cdot \frac{d\vec{r}_G}{dt} \quad (6)$$

$$+ \frac{1}{2} m \sum_{j=1}^n \frac{d\vec{r}_{B_j^i}}{dt} \cdot \frac{d\vec{r}_{B_j^i}}{dt} + \frac{1}{2} m \sum_{j=1}^s \frac{d\vec{r}_{B_j^o}}{dt} \cdot \frac{d\vec{r}_{B_j^o}}{dt}$$

که در آن  $M$  جرم دیسک می‌باشد و  $m$  جرم هر یک از ساچمه‌ها است.  $[J]$  ماتریس اینرسی و  $\vec{\Omega}$  بردار سرعت زاویه‌ای روتور می‌باشد که به صورت روابط (۷) و (۸) تعریف می‌شوند:

$$\begin{aligned}
 & [M + (n + s)m](r\ddot{\theta} + 2\dot{r}\dot{\theta}) + c_r r\dot{\theta} \\
 & + \left(\frac{3EI}{a^2} + \frac{3EI}{b^2}\right)(-\beta \sin(\omega t - \theta) + \alpha \cos(\omega t - \theta)) \\
 & + mR_i \sum_{j=1}^n [(\ddot{\varphi}_j^i + 2\dot{\omega}) \cos(\varphi_j^i + \omega t - \theta) \\
 & - (\dot{\varphi}_j^i + \omega + \dot{\omega}t)^2 \sin(\varphi_j^i + \omega t - \theta)] \\
 & + mR_o \sum_{j=1}^s [(\ddot{\varphi}_j^o + 2\dot{\omega}) \cos(\varphi_j^o + \omega t - \theta) \\
 & - (\dot{\varphi}_j^o + \omega + \dot{\omega}t)^2 \sin(\varphi_j^o + \omega t - \theta)] \\
 & - M \varepsilon [(\omega + \dot{\omega}t)^2 \sin(\omega t - \theta) - (2\dot{\omega}) \cos(\omega t - \theta)] = 0 \quad (20)
 \end{aligned}$$

$$\begin{aligned}
 & \left[ J + mR_i^2 \sum_{j=1}^n \sin^2 \varphi_j^i + mR_o^2 \sum_{j=1}^s \sin^2 \varphi_j^o \right] \ddot{\alpha} + \dot{\omega} (J_z - J) \beta \\
 & - m \ddot{\beta} \left[ R_i^2 \sum_{j=1}^n \cos \varphi_j^i \sin \varphi_j^i + R_o^2 \sum_{j=1}^s \cos \varphi_j^o \sin \varphi_j^o \right] \\
 & - r \sin(\omega t - \theta) \left[ \frac{3EI}{a^2} + \frac{3EI}{b^2} \right] + \left[ c_r + 2mR_i^2 \sum_{j=1}^n \dot{\varphi}_j^i \cos \varphi_j^i \sin \varphi_j^i \right. \\
 & + 2mR_o^2 \sum_{j=1}^s \dot{\varphi}_j^o \cos \varphi_j^o \sin \varphi_j^o \left. \right] \dot{\alpha} + mR_i^2 \beta \sum_{j=1}^n [\ddot{\varphi}_j^i - (2\omega \dot{\varphi}_j^i + \omega^2 \\
 & + 2\dot{\omega}\omega t + \dot{\omega}^2 t^2 + 2\dot{\omega}\dot{\varphi}_j^i t) \cos \varphi_j^i \sin \varphi_j^i + 2\dot{\omega} \cos^2 \varphi_j^i] \\
 & + \left[ (J_z - 2J)\omega + 2mR_i^2 \sum_{j=1}^n \dot{\varphi}_j^i \sin^2 \varphi_j^i + 2mR_o^2 \sum_{j=1}^s \dot{\varphi}_j^o \sin^2 \varphi_j^o \right] \dot{\beta} \\
 & + mR_o^2 \beta \sum_{j=1}^s [\ddot{\varphi}_j^o - (2\omega \dot{\varphi}_j^o + \omega^2 + 2\dot{\omega}\omega t + \dot{\omega}^2 t^2 + 2\dot{\omega}\dot{\varphi}_j^o t) \\
 & \times \cos \varphi_j^o \sin \varphi_j^o + 2\dot{\omega} \cos^2 \varphi_j^o] + \left[ \frac{3EI}{a} + \frac{3EI}{b} + (J_z - J)\omega^2 \right. \\
 & + mR_i^2 \sum_{j=1}^n (2\omega \dot{\varphi}_j^i + \omega^2 + 2\dot{\omega}\omega t + \dot{\omega}^2 t^2 + 2\dot{\omega}t \dot{\varphi}_j^i) \sin^2 \varphi_j^i \\
 & + mR_o^2 \sum_{j=1}^s (2\omega \dot{\varphi}_j^o + \omega^2 + 2\dot{\omega}\omega t + \dot{\omega}^2 t^2 + 2\dot{\omega}t \dot{\varphi}_j^o) \sin^2 \varphi_j^o \\
 & \left. - mR_i^2 \sum_{j=1}^n 2\dot{\omega} \sin \varphi_j^i \cos \varphi_j^i - mR_o^2 \sum_{j=1}^s 2\dot{\omega} \sin \varphi_j^o \cos \varphi_j^o \right] \alpha = 0 \quad (21)
 \end{aligned}$$

$$\delta_{y_2} = \frac{3D_y + b\Phi_x}{2b} Z_2 - \frac{D_y + b\Phi_x}{2b^3} Z_2^3 \quad (16)$$

که  $\delta_{y_1}$  معادله خیز شفت برای ناحیه  $0 \leq Z_1 \leq a$  و  $\delta_{y_2}$  معادله خیز شفت برای ناحیه  $0 \leq Z_2 \leq b$  در صفحه  $Z-Y$  است.

انرژی پتانسیل کل ناشی از خمش شفت از رابطه (17) به دست می‌آید:

$$\begin{aligned}
 V = & \frac{1}{2} EI \int_0^a \left[ \left( \frac{\partial^2 \delta_{x1}}{\partial Z_1^2} \right)^2 + \left( \frac{\partial^2 \delta_{y1}}{\partial Z_1^2} \right)^2 \right] dZ_1 \\
 & + \frac{1}{2} EI \int_0^b \left[ \left( \frac{\partial^2 \delta_{x2}}{\partial Z_2^2} \right)^2 + \left( \frac{\partial^2 \delta_{y2}}{\partial Z_2^2} \right)^2 \right] dZ_2 \quad (17)
 \end{aligned}$$

که در آن  $E$  مدول یانگ و  $I$  ممان اینرسی سطح مقطع شفت می‌باشد. تابع اتلاف ریلی که در بر گیرنده کلیه نیروهای ناشی از میرایی است از رابطه زیر به دست می‌آید:

$$\begin{aligned}
 F = & \frac{1}{2} c_r (\dot{r}^2 + r^2 \dot{\theta}^2) + \frac{1}{2} c_r (\dot{\alpha}^2 + \dot{\beta}^2) \\
 & + \frac{1}{2} D \sum_{j=1}^n (\dot{\varphi}_j^i)^2 + \frac{1}{2} D \sum_{j=1}^s (\dot{\varphi}_j^o)^2 \quad (18)
 \end{aligned}$$

که  $c_r$  ضریب میرایی انتقالی،  $c_r$  ضریب میرایی دورانی ناشی از تغییرات زمانی زوایای اوپلر و  $D$  ضریب میرایی لزج ناشی از لزجت سیال درون شیارها است. ثابت میرایی لزج برای حرکت ساچمه‌ها در هر دو شیار یکسان فرض می‌شود. معادلات غیرخطی حرکت سیستم با استفاده از معادلات لاگرانژ به صورت روابط (19) تا (24) به دست می‌آیند. در ضمن از آنجایی که  $\alpha$ ،  $\beta$ ،  $r$  و  $\varepsilon$  دارای مقادیر کوچکی می‌باشند، بنابراین از جملاتی که از حاصلضرب آنها تشکیل شده‌اند می‌توان صرف‌نظر کرد:

$$\begin{aligned}
 & [M + (n + s)m](\ddot{r} - r\dot{\theta}^2) + c_r \dot{r} + \left( \frac{3EI}{a^3} + \frac{3EI}{b^3} \right) r \\
 & - \left( \frac{3EI}{a^2} + \frac{3EI}{b^2} \right) (\alpha \sin(\omega t - \theta) + \beta \cos(\omega t - \theta)) \\
 & - mR_i \sum_{j=1}^n [(\ddot{\varphi}_j^i + 2\dot{\omega}) \sin(\varphi_j^i + \omega t - \theta) \\
 & + (\dot{\varphi}_j^i + \omega + \dot{\omega}t)^2 \cos(\varphi_j^i + \omega t - \theta)] \\
 & - mR_o \sum_{j=1}^s [(\ddot{\varphi}_j^o + 2\dot{\omega}) \sin(\varphi_j^o + \omega t - \theta) \\
 & + (\dot{\varphi}_j^o + \omega + \dot{\omega}t)^2 \cos(\varphi_j^o + \omega t - \theta)] \\
 & - M \varepsilon [(\omega + \dot{\omega}t)^2 \cos(\omega t - \theta) + (2\dot{\omega}) \sin(\omega t - \theta)] = 0 \quad (19)
 \end{aligned}$$

$$A = \begin{bmatrix} I & O \\ O & M \end{bmatrix} \quad (28)$$

ماتریس  $A$  در رابطه (28) بیانگر ضرایب مشتقات مرتبه دوم معادلات حرکت می‌باشد. در رابطه (28)،  $I$  ماتریس مربعی واحد از مرتبه  $n+s+4$  می‌باشد و ماتریس  $M$  به صورت رابطه (29) بیان می‌شود:

$$M = \begin{bmatrix} M+(s+n)m & 0 & 0 & 0 \\ 0 & (M+(s+n)m)r & 0 & 0 \\ 0 & 0 & \Theta_1 & \Theta_3 \\ 0 & 0 & \Theta_2 & \Theta_4 \\ -mR_i S_1^i & mR_i r C_1^i & 0 & 0 \\ \vdots & \vdots & \vdots & \vdots \\ -mR_i S_n^i & mR_i r C_n^i & 0 & 0 \\ -mR_o S_1^o & mR_o r C_1^o & 0 & 0 \\ \vdots & \vdots & \vdots & \vdots \\ -mR_o S_s^o & mR_o r C_s^o & 0 & 0 \\ -mR_i S_1^i & \dots & -mR_i S_n^i & -mR_o S_1^o & \dots & -mR_o S_s^o \\ mR_i C_1^i & \dots & mR_i C_n^i & mR_o C_1^o & \dots & mR_o C_s^o \\ mR_i^2 \beta & \dots & mR_i^2 \beta & mR_o^2 \beta & \dots & mR_o^2 \beta \\ 0 & \dots & 0 & 0 & \dots & 0 \\ mR_i^2 & \dots & 0 & 0 & \dots & 0 \\ \vdots & \ddots & 0 & 0 & \dots & 0 \\ 0 & \dots & mR_i^2 & \vdots & \ddots & \vdots \\ 0 & \dots & 0 & mR_o^2 & 0 & 0 \\ \vdots & \ddots & 0 & \vdots & \ddots & \vdots \\ 0 & \dots & 0 & 0 & \dots & mR_o^2 \end{bmatrix} \quad (29)$$

در رابطه (29) از اختصارات زیر استفاده شده است:

$$C_j^o = \cos(\varphi_j^o + \omega t - \theta), S_j^o = \sin(\varphi_j^o + \omega t - \theta)$$

$$C_j^i = \cos(\varphi_j^i + \omega t - \theta), S_j^i = \sin(\varphi_j^i + \omega t - \theta)$$

$$\Theta_1 = J + m \left( R_i^2 \sum_{j=1}^n \sin^2 \varphi_j^i + R_o^2 \sum_{j=1}^s \sin^2 \varphi_j^o \right)$$

$$\Theta_2 = -m \left( R_i^2 \sum_{j=1}^n \cos \varphi_j^i \sin \varphi_j^i + R_o^2 \sum_{j=1}^s \cos \varphi_j^o \sin \varphi_j^o \right)$$

$$\Theta_3 = -m \left( R_i^2 \sum_{j=1}^n \cos \varphi_j^i \sin \varphi_j^i + R_o^2 \sum_{j=1}^s \cos \varphi_j^o \sin \varphi_j^o \right)$$

$$\Theta_4 = J + m \left( R_i^2 \sum_{j=1}^n \cos^2 \varphi_j^i + R_o^2 \sum_{j=1}^s \cos^2 \varphi_j^o \right)$$

با بیان معادلات در فضای حالت،  $2(n+s+4)$  معادله دیفرانسیل مرتبه اول حاصل می‌شود. وضعیت‌های تعادل، با در نظر گرفتن  $\dot{\vec{x}} = 0$  به دست می‌آید:

$$\vec{X}(x^*) = 0 \quad (30)$$

بر اساس معادلات به دست آمده از رابطه (30)، وضعیت‌های تعادل سیستم در دو حالت  $r^* = 0$  و  $r^* \neq 0$  اتفاق می‌افتد که با توجه به اهمیت حالت بالانس، فقط وضعیت بالانس،  $r^* = 0$ ، مورد بررسی قرار می‌گیرد. در حالت بالانس سیستم، با قرار دادن  $r^* = \alpha^* = \beta^* = 0$  در معادلات (30) دو معادله (31) و (32) حاصل می‌شود:

$$mR_i \sum_{j=1}^n \cos \varphi_j^{i*} + mR_o \sum_{j=1}^s \cos \varphi_j^{o*} + M \varepsilon = 0 \quad (31)$$

$$\begin{aligned} & \left( J + mR_i^2 \sum_{j=1}^n \cos^2 \varphi_j^i + mR_o^2 \sum_{j=1}^s \cos^2 \varphi_j^o \right) \ddot{\beta} \\ & - m \ddot{\alpha} \left( R_i^2 \sum_{j=1}^n \cos \varphi_j^i \sin \varphi_j^i + R_o^2 \sum_{j=1}^s \cos \varphi_j^o \sin \varphi_j^o \right) \\ & + \left( c_r - 2mR_i^2 \sum_{j=1}^n \dot{\varphi}_j^i \cos \varphi_j^i \sin \varphi_j^i - 2mR_o^2 \sum_{j=1}^s \dot{\varphi}_j^o \cos \varphi_j^o \sin \varphi_j^o \right) \dot{\beta} \\ & - mR_o^2 \alpha \sum_{j=1}^s \left[ (2\omega \dot{\varphi}_j^o + \omega^2 + 2\dot{\omega} \omega t + \dot{\omega}^2 t^2 + 2\dot{\omega} \dot{\varphi}_j^o t) \cos \varphi_j^o \sin \varphi_j^o \right. \\ & \left. - 2\dot{\omega} \cos^2 \varphi_j^o \right] - mR_i^2 \alpha \sum_{j=1}^n \left[ (2\omega \dot{\varphi}_j^i + \omega^2 + 2\dot{\omega} \omega t + \dot{\omega}^2 t^2 + 2\dot{\omega} \dot{\varphi}_j^i t) \right. \\ & \left. \times \cos \varphi_j^i \sin \varphi_j^i - 2\dot{\omega} \cos^2 \varphi_j^i \right] + \dot{\omega} J \alpha - r \cos(\omega t - \theta) \left( \frac{3EI}{a^2} + \frac{3EI}{b^2} \right) \\ & - \left[ (J_z - 2J) \omega + 2mR_i^2 \sum_{j=1}^n \dot{\varphi}_j^i \cos^2 \varphi_j^i + 2mR_o^2 \sum_{j=1}^s \dot{\varphi}_j^o \cos^2 \varphi_j^o \right] \dot{\alpha} \\ & + \left[ mR_i^2 \sum_{j=1}^n (2\omega \dot{\varphi}_j^i + \omega^2 + 2\dot{\omega} \omega t + \dot{\omega}^2 t^2 + 2\dot{\omega} \dot{\varphi}_j^i t) \cos^2 \varphi_j^i \right. \\ & \left. + \frac{3EI}{a} + \frac{3EI}{b} + (J_z - J) \omega^2 + mR_i^2 \sum_{j=1}^n 2\dot{\omega} \sin \varphi_j^i \cos \varphi_j^i \right. \\ & \left. + mR_o^2 \sum_{j=1}^s (2\omega \dot{\varphi}_j^o + \omega^2 + 2\dot{\omega} \omega t + \dot{\omega}^2 t^2 + 2\dot{\omega} \dot{\varphi}_j^o t) \cos^2 \varphi_j^o \right. \\ & \left. + mR_o^2 \sum_{j=1}^s 2\dot{\omega} \sin \varphi_j^o \cos \varphi_j^o \right] \beta = 0 \end{aligned} \quad (22)$$

$$mR_i^2 (\ddot{\varphi}_j^i + 2\dot{\omega}) + D \dot{\varphi}_j^i - mR_i \left[ (\ddot{r} - r\dot{\theta}^2) \sin(\varphi_j^i + \alpha t - \theta) - (r\ddot{\theta} + 2\dot{r}\dot{\theta}) \cos(\varphi_j^i + \alpha t - \theta) \right] = 0, \quad j = 1, 2, \dots, n \quad (23)$$

$$mR_o^2 (\ddot{\varphi}_j^o + 2\dot{\omega}) + D \dot{\varphi}_j^o - mR_o \left[ (\ddot{r} - r\dot{\theta}^2) \sin(\varphi_j^o + \alpha t - \theta) - (r\ddot{\theta} + 2\dot{r}\dot{\theta}) \cos(\varphi_j^o + \alpha t - \theta) \right] = 0, \quad j = 1, 2, \dots, s \quad (24)$$

### 3- تعیین ناحیه بالانس پایدار سیستم

برای تعیین ناحیه بالانس پایدار، ابتدا موقعیت‌های تعادل سیستم را استخراج و با استفاده از پارامترهای اغتشاشی، معادلات را حول نقاط تعادل خطی‌سازی کرده و در پایان با بررسی پایداری سیستم، ناحیه بالانس پایدار تعیین می‌شود.

### 3-1- تعیین موقعیت‌های تعادل و خطی‌سازی معادلات

#### حاکم حول نقاط تعادل

برای تعیین موقعیت‌های تعادل معادلات حرکت در فضای حالت به صورت ماتریسی - برداری به شکل رابطه (25) بیان می‌شوند:

$$A(x) \ddot{\vec{x}} = \vec{X}(x) \quad (25)$$

که در آن بردار حالت و بردار تحریک سیستم به ترتیب با روابط (26) و (27) نشان داده شده است.

$$\vec{x} = [r, \theta, \alpha, \beta, \varphi_1^i, \dots, \varphi_n^i, \varphi_1^o, \dots, \varphi_s^o, \dot{r}, \dot{\theta}, \dot{\alpha}, \dot{\beta}, \dot{\varphi}_1^i, \dots, \dot{\varphi}_n^i, \dot{\varphi}_1^o, \dots, \dot{\varphi}_s^o]^T \quad (26)$$

$$\vec{X} = \{X_r, X_\theta, X_\alpha, X_\beta, X_{\varphi_1^i}, \dots, X_{\varphi_n^i}, X_{\varphi_1^o}, \dots, X_{\varphi_s^o},$$

$$X_{\dot{r}}, X_{\dot{\theta}}, X_{\dot{\alpha}}, X_{\dot{\beta}}, X_{\dot{\varphi}_1^i}, \dots, X_{\dot{\varphi}_n^i}, X_{\dot{\varphi}_1^o}, \dots, X_{\dot{\varphi}_s^o}\}^T \quad (27)$$

و ماتریس  $A$  برابر خواهد بود با:

که در آن  $\lambda_0$  مقدار ویژه و  $\Delta X$  بردار ویژه متناظر با مقدار آن می‌باشد. بردارهای ویژه را می‌توان به صورت رابطه (۴۰) در نظر گرفت:

$$\Delta X = \left\{ \Delta R, \Delta \psi, \Delta \alpha, \Delta \beta, \Delta \varphi_1^i, \Delta \varphi_1^o \right. \\ \left. \Delta \hat{R}, \Delta \hat{\psi}, \Delta \hat{\alpha}, \Delta \hat{\beta}, \Delta \hat{\varphi}_1^i, \Delta \hat{\varphi}_1^o \right\}^T \quad (40)$$

معادلات حاکم، به مسأله مقدار ویژه که با رابطه (۴۱) نشان داده شده تبدیل می‌شوند:

$$(B^* - \lambda_0 A^*) \Delta X = 0 \quad (41)$$

هنگامی که همه مقادیر ویژه دارای قسمت حقیقی منفی باشند سیستم به صورت مجانبی پایدار است. ولی اگر یکی از مقادیر ویژه دارای قسمت حقیقی مثبت باشد، سیستم ناپایدار است [۱۶]. مسأله مقدار ویژه را می‌توان با حل معادله مشخصه که به صورت رابطه (۴۲) به دست می‌آید حل نمود:

$$\det(B^* - \lambda_0 A^*) = 0 \quad (42)$$

که می‌توان آن را با یک چندجمله‌ای بر حسب  $\lambda_0$  طبق رابطه (۴۳) بیان کرد:

$$\sum_{k=0}^{k=12} c_k \left( \frac{\lambda_0}{\omega_0} \right)^k = 0 \quad (43)$$

با انجام یک سری عملیات نسبتاً پیچیده جبری، ضرایب معادله مشخصه بالا به دست می‌آیند. به دلیل مفصل بودن ضرایب از آوردن آن‌ها خودداری شده است.

هر یک از ضرایب در حالت کلی تابعی از پارامترهای بی‌بعد سیستم است که عبارتند از  $\bar{\lambda}$ ,  $\bar{\epsilon}$ ,  $\zeta_r$ ,  $\zeta_t$ ,  $\bar{m}$ ,  $\bar{\omega}$  و  $\bar{R}$ . بنابراین مقادیر ویژه رابطه (۴۳) نیز تابعی از این پارامتر می‌باشند. با توجه به اینکه نواحی پایدار بر حسب هر هفت پارامتر را نمی‌توان به‌طور همزمان نشان داد، در هر مرحله به پنج پارامتر از هفت پارامتر فوق مقادیر مشخص داده و نواحی پایدار بر حسب دو پارامتر دیگر رسم شده است. شکل ۲ نواحی پایدار بر حسب پارامترهای  $\bar{\lambda}$  و  $\bar{\omega}$  می‌باشد. در این حالت پنج پارامتر دیگر  $\bar{\epsilon} = 0.01$ ,  $\bar{m} = 0.02$ ,  $\zeta_r = 0.02$ ,  $\zeta_t = 0.05$  و  $\bar{R} = 0.7$  در نظر گرفته می‌شوند. همانطور که از شکل ۲ مشاهده

می‌شود ناحیه بالانس پایدار برای روتور مجهز به اتوبالانسر دو ردیفه بیشتر از روتور مجهز به اتوبالانسر یک ردیفه است. لازم به ذکر است که از تحلیل‌های انجام شده در مورد پایداری روتور مجهز به اتوبالانسر می‌توان نتیجه گرفته که ناحیه بالانس پایدار به پارامترهای سیستم از جمله جرم، سفتی و ثابت میرایی بستگی دارد. بنابراین برای این که بالانسر قادر به بالانس سیستم باشد، باید پارامترهای سیستم در محدوده‌ی بالانس پایدار قرار گیرند. محدود بودن این ناحیه سبب می‌شود اتوبالانسر فقط قادر به بالانس سیستم‌های با مقدار پارامترهای مشخص باشد. بنابراین افزایش ناحیه بالانس پایدار سبب می‌شود که این نوع بالانسر توانایی بالانس سیستم‌ها با محدوده‌ی وسیع‌تری از پارامترها را داشته باشد.

$$R_i \sum_{j=1}^n \sin \varphi_j^{i*} + R_o \sum_{j=1}^s \sin \varphi_j^{o*} = 0 \quad (32)$$

معادلات (۳۱) و (۳۲) وضعیت قرارگیری گلوله‌ها بر حسب  $\varphi_i$  را نشان می‌دهند. تحت این شرایط گلوله‌ها سیستم را بالانس می‌کنند. برای بررسی ارتعاشات کوچک سیستم حول نقاط تعادل پایدار، از مختصه‌های اغتشاشی به صورت رابطه (۳۳) استفاده می‌شود:

$$x = x^* + \Delta x \quad (33)$$

که در آن  $x^*$  نقطه تعادل سیستم است و بردار  $\Delta x$  به صورت رابطه (۳۴) تعریف می‌شود:

$$\Delta \vec{x} = \left\{ \Delta r, \Delta \theta, \Delta \alpha, \Delta \beta, \Delta \varphi_1^i, \dots, \Delta \varphi_n^i, \Delta \varphi_1^o, \dots, \Delta \varphi_n^o, \right. \\ \left. \Delta \dot{r}, \Delta \dot{\theta}, \Delta \dot{\alpha}, \Delta \dot{\beta}, \Delta \dot{\varphi}_1^i, \dots, \Delta \dot{\varphi}_n^i, \Delta \dot{\varphi}_1^o, \dots, \Delta \dot{\varphi}_n^o \right\} \quad (34)$$

در واقع مؤلفه‌های رابطه بالا تغییرات بسیار کوچکی هستند که به ترتیب در  $r, \theta, \alpha, \beta, \varphi_j^i, \varphi_j^o, \dot{r}, \dot{\theta}, \dot{\alpha}, \dot{\beta}, \dot{\varphi}_j^i, \dot{\varphi}_j^o$  و  $\dot{\varphi}_j^o$  داده شده‌اند. همچنین حول نقاط تعادل، سیستم به دور کاری رسیده و شتاب زاویه‌ای صفر می‌باشد؛ پس با در نظر گرفتن روابط (۳۳) و (۳۴)، معادلات حرکت در فضای حالت به صورت رابطه (۳۵) به دست می‌آید:

$$A(x^* + \Delta x) \Delta \dot{\vec{x}} = \vec{X}(x^* + \Delta x) - \vec{X}(x^*) \quad (35)$$

با معرفی مختصه جدید  $\psi$  که نشان دهنده زاویه بین راستای  $r$  و خط واصل از مرکز هندسی روتور و مرکز جرم  $(\psi = \omega t - \theta)$  است. می‌توان معادلات حاکم بر حرکت را حول نقاط تعادل به صورت یک سیستم خودگردان بیان کرد. در ادامه با بسط رابطه (۳۵) و صرف نظر کردن از جملات مرتبه دوم و بالاتر  $\Delta x$ ، رابطه (۳۶) به دست می‌آید:

$$A(x^*) \Delta \dot{\vec{x}} = B \Delta \vec{x} \quad (36)$$

که در آن  $B$  ماتریس مربعی می‌باشد.

### ۳-۲- بی‌بعد کردن ضرایب

برای کسب نتایج عمومی‌تر، پارامترهای بی‌بعد به صورت رابطه (۳۷) تعریف می‌شوند:

$$\omega_0 = \sqrt{\frac{3EIL}{Ma^2b^2}}, \zeta_r = \frac{c_r}{4} \sqrt{\frac{L^3}{3MEI}}, \zeta_t = \frac{c_t}{4} \sqrt{\frac{L}{JEI}} \quad (37)$$

$$\bar{m} = \frac{m}{M}, \bar{\epsilon} = \frac{\epsilon}{R_o}, \bar{\omega} = \frac{\omega}{\omega_0}, \lambda = \frac{D}{mR_o^2\omega_0}, \bar{R} = \frac{R_t}{R_o}$$

که در آن  $\zeta_r$  و  $\zeta_t$  به ترتیب میرایی بی‌بعد انتقالی و دورانی می‌باشد.  $\lambda$  نشان دهنده نسبت میرایی بالانسر و  $\omega_0$  فرکانس مینا می‌باشد.

### ۳-۳- بررسی پایداری سیستم

پایداری سیستم در همسایگی وضعیت تعادل به وسیله معادلات خطی‌سازی شده حول نقاط تعادل و با استفاده از مسأله مقدار ویژه بررسی می‌شود [۹]:

$$A^* \Delta \dot{x} = B^* \Delta x \quad (38)$$

همچنین حالتی که بالانسر تنها دارای دو ساچمه می‌باشد بررسی می‌شود. بنابراین ماتریس‌های  $A^*$  و  $B^*$  ماتریس‌های  $12 \times 12$  می‌باشند. پایداری حول وضعیت تعادل را می‌توان به یک مسأله مقدار ویژه تبدیل کرد، پاسخ سیستم به صورت رابطه (۳۹) در نظر گرفته می‌شود:

$$\Delta x = \Delta X e^{\lambda t} \quad (39)$$

و  $(EI = 101.6 \text{ Nm}^2)$ ، شرایط اولیه حاکم بر آن نیز مشخص باشد. با فرض شرایط اولیه به صورت رابطه (۴۴) و با در نظر گرفتن سرعت و شتاب زاویه‌ای مطابق روابط (۴۵) و (۴۶) می‌توان پاسخهای زمانی را برای حالت‌های مختلف به دست آورد:

$$r(0) = 10^{-3} \text{ m}, \theta(0) = 0^\circ, \alpha(0) = \beta(0) = 9^\circ$$

$$\varphi_1(0) = a, \varphi_2(0) = b \quad (44)$$

$$\dot{r}(0) = \dot{\theta}(0) = \dot{\alpha}(0) = \dot{\beta}(0) = \dot{\varphi}_1(0) = \dot{\varphi}_2(0) = 0$$

دلیل اینکه به  $\varphi_1(0)$  و  $\varphi_2(0)$  مقدار مشخصی داده نشده این است که در عمل این دو مقدار مشخصی ندارد. به همین خاطر برای کسب نتایج واقعی‌تر با در نظر گرفتن شرایط اولیه متفاوت برای محل قرارگیری ساچمه‌ها نتایج مورد نظر استخراج شده است. سرعت زاویه‌ای به صورت رابطه (۴۵) در نظر گرفته شده است:

$$\begin{cases} \omega = 240t - \left(\frac{60}{\pi}\right) \sin(4\pi t) & t < 0.5 \\ \omega = 120 & t \geq 0.5 \end{cases} \quad (45)$$

$$\dot{\omega} = \alpha = \frac{d\omega}{dt} \quad (46)$$

### ۵- بهینه‌سازی

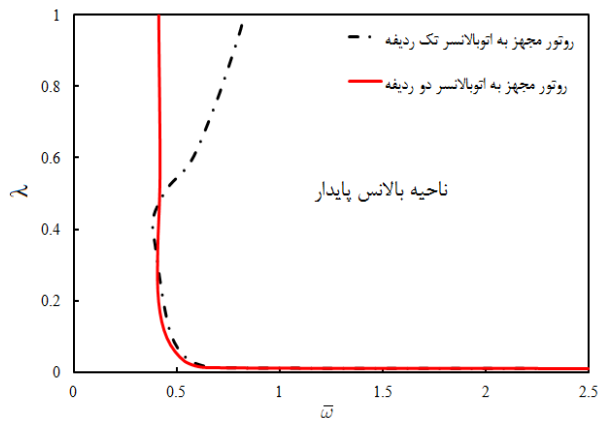
با توجه به اینکه نیروهای مضر ایجاد شده در اثر نابالانسی در سیستم باعث کاهش عمر، ایجاد صدا و ارتعاشات ناخواسته و در برخی موارد سبب به خطر افتادن سلامتی کاربر می‌شود بنابراین کاهش زمان مورد نیاز برای بالانس سیستم اهمیت پیدا می‌کند. به همین منظور در این بخش به تعیین بازه بهینه برای پارامترهای ضریب میرایی و جرم ساچمه‌ها براساس زمان کمینه برای بالانس و میرایی سریع زوایای اوپلر پرداخته شده است.

نابالانسی از مقدار  $\bar{\varepsilon} = 0.005$  تا  $\bar{\varepsilon} = 0.01$  متغیر در نظر گرفته شده است. همچنین،  $\zeta_r = 0.02$  و  $\zeta_t = 0.05$  در نظر گرفته شده‌اند. علاوه بر این، با توجه به اینکه موقعیت اولیه ساچمه‌ها در عمل مقدار مشخصی ندارد، در این مقاله برای کسب نتایج عمومی‌تر و واقعی‌تر، پارامترهای بهینه برای سه مقدار متفاوت شرایط اولیه ساچمه‌ها که در رابطه (۴۷) اشاره شده به دست آمده‌اند:

$$\begin{cases} \text{IC1} \rightarrow \varphi_1 = 40^\circ, \varphi_2 = 45^\circ \\ \text{IC2} \rightarrow \varphi_1 = 110^\circ, \varphi_2 = 115^\circ \\ \text{IC3} \rightarrow \varphi_1 = 260^\circ, \varphi_2 = 265^\circ \end{cases} \quad (47)$$

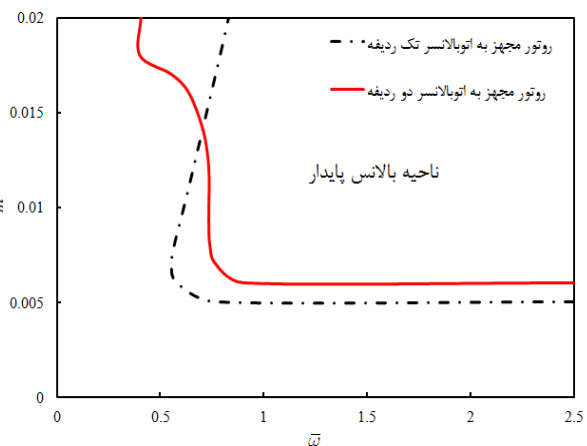
با توجه به توضیحات فوق تابع هدف مورد استفاده در بهینه‌سازی شامل زمان لازم برای بالانس سیستم و میرایی زوایای اوپلر می‌باشد. پارامترهای بهینه‌سازی شامل جرم ساچمه و ضریب میرایی می‌باشند. برای تعیین مقادیر بهینه برای این دو پارامتر از الگوریتم ژنتیک پیوسته استفاده شده است. محدوده‌ی پارامترها به شکل رابطه‌ی (۴۸) فرض شده است:

$$\begin{cases} \bar{m} \in [0.006, 0.02] \\ \lambda \in [0.01, 1] \end{cases} \quad (48)$$



شکل ۲- پایداری براساس تغییرات سرعت دورانی بی‌بعد نسبت به ضریب میرایی

در شکل ۳ نواحی پایدار بر حسب پارامترهای  $\bar{m}$  و  $\bar{\omega}$  می‌باشد، در این حالت سایر پارامترها به صورت  $\bar{\varepsilon} = 0.01$ ،  $\zeta_r = 0.02$ ،  $\zeta_t = 0.05$  و  $R = 0.7$  و  $\lambda = 1$  در نظر گرفته شده‌اند. همانطور که از شکل ۳ مشاهده می‌شود به ازای مقادیر کوچک جرم بی‌بعد ساچمه‌ها، ناحیه بالانس پایدار برای روتور مجهز به اتوبالانسر یک ردیفه بیشتر از روتور مجهز به اتوبالانسر دو ردیفه است ولی به ازای مقادیر بزرگتر جرم بی‌بعد ساچمه‌ها، نتیجه معکوسی حاصل می‌شود.



شکل ۳- پایداری بر اساس تغییرات سرعت دورانی بی‌بعد نسبت به جرم بی‌بعد ساچمه‌ها

### ۴- تعیین زمان مورد نیاز برای بالانس سیستم

برای تعیین زمان مورد نیاز برای میرا شدن دامنه حرکت و میرایی زوایای اوپلر، پاسخهای زمانی معادلات غیرخطی حرکت با استفاده از روش رانگ کوتا مرتبه ۴ استخراج شد. با بررسی پاسخهای زمانی، زمان لازم برای بالانس سیستم به دست می‌آید. معیار بالانس سیستم، زمان رسیدن دامنه حرکت  $r$  به مقداری کمتر از  $10^{-4}$  متر در نظر گرفته شده است. زمان رسیدن زوایای اوپلر به مقداری کمتر از  $10^{-3}$  رادیان نیز به عنوان زمان میرایی زوایای اوپلر در نظر گرفته شده است.

برای به دست آوردن پاسخهای زمانی لازم است علاوه بر پارامترهای فیزیکی سیستم ( $M = 1 \text{ kg}$ ،  $b = 0.4 \text{ m}$ ،  $a = 0.8 \text{ m}$ )

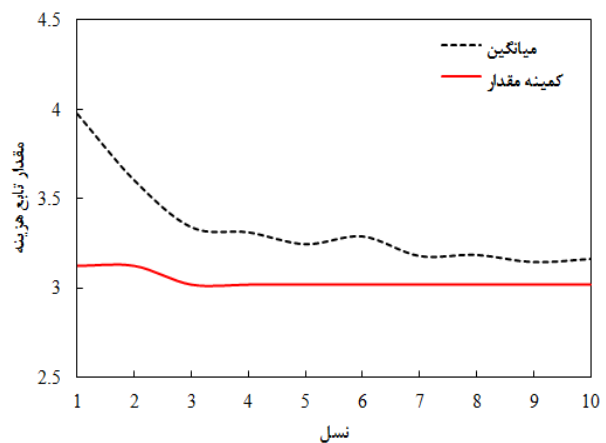
با توجه به شکل ۲ و ۳ برای اینکه سیستم در حالت بالانس پایدار باشد، کمترین مقدار جرم برابر ۰/۰۰۶ و مقدار  $\lambda$  باید بزرگتر از ۰/۰۱ انتخاب گردد.

### ۵-۱- الگوریتم ژنتیک

الگوریتم ژنتیک یک روش جستجو و بهینه‌سازی بر پایه‌ی انتخاب طبیعی است. این الگوریتم اجازه می‌دهد تا جمعیت داده‌ها تحت قانون انتخابی مشخصی بهبود یابند. برای بهینه‌سازی با این الگوریتم، ابتدا یک جمعیت اولیه تولید می‌شود [۱۸]. در بررسی حاضر جمعیت اولیه دارای ۱۰۰ عضو می‌باشد. در مرحله‌ی بعد مقادیر جمعیت بر حسب تابع هدف، ارزیابی و مرتب می‌شوند. پس از مرتب‌سازی نیمی از جمعیت نامناسب حذف می‌شوند. سپس با انتخاب والدین از میان داده‌های باقی‌مانده، داده‌های جدید تولید می‌گردد. برای انتخاب والدین از روش احتمال تجمعی استفاده شده است. هر جفت از والدین با استفاده از عملگر تقاطع پیوسته، دو فرزند تولید کرده و با توجه به حذف نصف جمعیت در مراحل قبل، تعداد اعضاء جمعیت ثابت خواهد ماند. برای جلوگیری از همگرایی الگوریتم به کمینه‌ی محلی از عملگر جهش با نرخ جهش ۰/۰۵ استفاده شد. پس از این مرحله مقدار تابع هدف به ازای هر یک از داده‌های جدید حساب شده و مراحل فوق تا همگرایی الگوریتم به جواب بهینه ادامه یافت.

### ۵-۲- نتایج بهینه‌سازی

با اعمال روش مذکور، مقادیر بهینه جرم و ضریب میرایی با هدف کاهش زمان بالانس و میرایی سریع زوایای اولیه به دست آمد. شکل ۴ نمونه‌ای از نمودار همگرایی برای روش الگوریتم ژنتیک را نمایش می‌دهد.



شکل ۴- نمودار همگرایی الگوریتم ژنتیک

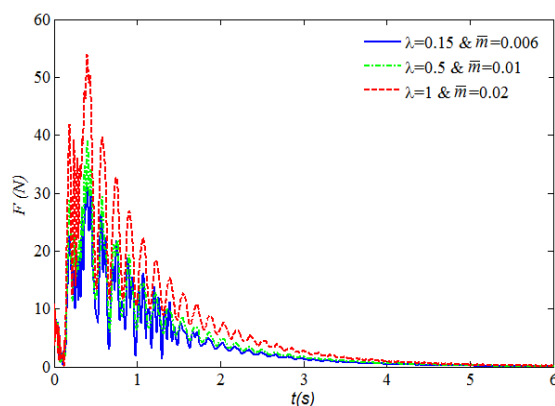
با توجه به نتایج، بازه بهینه برای ضریب میرایی به ازای پارامترهای فرض شده در دور کاری مذکور و برای شرایط اولیه مختلف ساچمه‌ها، برابر با [0.04 0.2] می‌باشد. در ضمن، برای بالانس سریع سیستم بهتر است جرم بی‌بعد هر یک از ساچمه‌ها ۰/۰۰۶ باشد.

### ۶- بررسی نیروی وارد بر یاتاقان‌ها

برای بررسی اهمیت موضوع، در این بخش تغییرات نیروهای وارد بر یاتاقان B در طی زمان بالانس بررسی شده است. نیروی دینامیکی وارد بر این یاتاقان از رابطه (۴۹) به دست می‌آید:

$$F = \left(\frac{a}{L}\right) k_{eq} r \quad (49)$$

در شکل ۵ نیروی وارد بر یاتاقان‌ها بر حسب زمان برای سه حالت مختلف رسم شده است. همانطور که از شکل مشاهده می‌شود نیروهای ناشی از نابالانسی در حالت انتخاب بهینه پارامترها نسبت به دو حالت دیگر سریعتر به صفر میل می‌کنند. نکته مهم دیگر اینکه با بهینه کردن پارامترها نه تنها نیروهای نابالانسی در یاتاقانها سریعتر به صفر میل می‌کنند بلکه ماکزیمم دامنه نیروها به ازای پارامترهای بهینه نسبت به حالت‌های دیگر نیز کمتر است.



شکل ۵- نیروی وارد بر یاتاقان

جدول ۱- بیشینه نیروی وارد بر یاتاقان‌ها و زمان میرا شدن نیروی وارد بر

یاتاقان‌ها			
زمان میرا شدن نیروی وارد بر یاتاقان (s)	بیشینه نیروی وارد بر یاتاقان‌ها (N)	جرم بی‌بعد ساچمه‌ها ( $\bar{m}$ )	نسبت میرایی ( $\lambda$ )
۵/۱۰	۵۳/۹۳	۰/۰۲۰	۱
۴/۲۳	۳۸/۹۶	۰/۰۱۰	۰/۵۰
۴/۱۳	۳۱/۱۲	۰/۰۰۶	۰/۱۵

همان طور که از جدول ۱ مشاهده می‌شود بیشینه دامنه و زمان بالانس در حالت بهینه (سطر آخر جدول ۱) نسبت به حالت غیر بهینه به ترتیب ۴۲ و ۱۹ درصد کاهش یافته است.

### ۷- نتیجه‌گیری

در اتوالانسر یک ردیفه برخورد میان ساچمه‌ها سبب خرابی آنها شده و باعث مختل شدن عملیات بالانس می‌شود. همچنین در بسیاری از کاربردهای سیستم‌های دوار به دلایل مختلف در حین چرخش روتور اثر ژيروسکوپی ظاهر می‌شود. در ضمن نیروهای ناشی از نابالانسی در سیستم باعث اختلال در عملکرد سیستم، کاهش عمر سیستم، ایجاد



- [11] Chan T. C., sung C. K., chao C. P., non-linear suspension of an automatic ball balancer, *Non-Linear Mechanics*, Vol. 46, pp. 415-424, 2011.
- [12] Lu C. J., Wang M. C., stability analysis of a ball-rod-spring automatic balancer, *International Journal of Mechanical Sciences*, Vol. 53, pp.846-854, 2011.
- [13] Sung C., Chan T., Chao C., Lu C., Influence of external excitations on ball positioning of an automatic balancer, *Mechanism and Machine Theory*, Vol. 69, pp. 115-126, 2013.
- [۱۴] موسی رضائی، رضا فتحی، بررسی تأثیر ضریب میرایی و جرم ساچمه‌ها بر پایداری اتوبالانسر ساچمه‌ای و یافتن مقدار بهینه پارامترها، *مجله مهندسی مکانیک مدرس*، دوره ۱۴، شماره ۳، ص ۱۱۰-۱۱۸، خرداد ۱۳۹۳.
- [15] Rodrigues D. J., Champneys A. R., Friswell M.I., Wilson R.E., Experimental investigation of a single-plane automatic balancing mechanism for a rigid rotor, *Journal of Sound and Vibration*, Vol. 330, pp 385-403, 2011.
- [16] Ginsberg J. H., *Advanced engineering dynamics*, Cambridge University Press, 1998.
- [17] Meirovitch L., *Fundamentals of vibrations*, Waveland Press, 2010.
- [18] Haupt R. L., Haupt S. E., *Practical genetic algorithms*, John Wiley & Sons, 2004.

صدا و ارتعاشات ناخواسته و در برخی موارد سبب به خطر افتادن سلامتی کاربر می‌شود. بنابراین رفع نابالانسی در سریعترین زمان ممکن اهمیت پیدا می‌کند.

در این تحقیق ابتدا رفتار دینامیکی اتوبالانسر ساچمه‌ای دو ردیفه در حضور اثر ژيروسکوپیی بررسی شد. در ادامه تأثیر دو پارامتر مهم ضریب میرایی و جرم ساچمه‌ها بر پایداری اتوبالانسر ساچمه‌ای بررسی گردید و مقدار بهینه این پارامترها با توجه به سایر پارامترهای سیستم با استفاده از الگوریتم ژنتیک تعیین شد. معیارهای مورد توجه در انتخاب جواب بهینه، کمینه‌سازی زمان رسیدن به حالت بالانس و میرایی سریع زوایای اوپلر در نظر گرفته شد. نتایج کلی حاصل از این تحقیق به شرح زیر است:

الف- با توجه به نمودارهای پایداری، ناحیه بالانس پایدار برای روتور مجهز به بالانسر ساچمه‌ای دو ردیفه نسبت به روتور مجهز به اتوبالانسر یک ردیفه بیشتر است.

ب- اتوبالانسر علاوه بر بالانس سیستم، قادر به تصحیح زوایای اوپلر در محدوده خاصی از پارامترها می‌باشد.

ج- با افزایش جرم ساچمه‌ها، زمان مورد نیاز برای بالانس افزایش می‌یابد.

د- نتایج نشان می‌دهد که انتخاب بهینه پارامترهای سیستم علاوه بر کاهش زمان بالانس، بیشینه دامنه نیروی وارد بر یاتاقان‌ها را نیز کاهش می‌دهد.

## ۸- مراجع

- [1] Ishida Y., Recent development of the passive vibration control method, *Mechanical Systems and Signal Processing*, Vol. 29, pp. 2-18, 2012.
- [2] Rezaee M., Fathi R., Improving the working performance of automatic ball balancer by modifying its mechanism, *Journal of Sound and Vibration*, Vol. 358, pp. 375-391, 2015.
- [3] Rezaee M., Fathi R., A new design for automatic ball balancer to improve its performance, *Mechanism and Machine Theory*, Vol. 94, pp. 165-176, 2015.
- [4] Thearle E., *Automatic dynamic balancers*, *Machine Design*, Vol. 22, pp. 119- 124, 1950.
- [5] Alexander J.D., An automatic dynamic balancer, *Proceeding for second southeastern conference*, Vol. 2, pp. 415-426, 1964.
- [6] Cade G. W., Self-compensating balancing in rotating mechanisms, *Mechanisms and Machine Theory*, Vol. 23, pp. 71-78, 1965.
- [7] Hwang C. H., Chung J., Dynamic analysis of an automatic ball balancer with double races, *JSME international journal*, Series C, *Mechanical systems, machine elements and manufacturing*, Vol. 42, No. 2, pp. 265-272, 1999.
- [8] Chung J., Jang I., Dynamic response and stability analysis of an automatic ball balancer for a flexible rotor, *Journal of Sound and Vibration*, Vol. 259, No. 1, pp. 31-43, 2003.
- [9] Lu C. J., Wang M. C., Huang Sh. H., Analytical study of the stability of a two-ball automatic balancer, *Mechanical Systems and Signal Processing*, Vol. 23, pp. 884-896, 2009.
- [10] Ehyae J.i., Majid Moghaddam M., Dynamic response and stability analysis of an unbalanced flexible rotating shaft equipped with  $n$  automatic ball- balancers, *Journal of Sound and Vibration*, Vol. 321, pp 554- 571, 2009.